

京都府立 正直 小林 貴一
 " " 大津 政康
 " 岩瀬貞 松尾 哲彦

1. はじめに

材料が破壊する際には、如何に微小な破壊であっても、激しくエネルギーが解放され、これに伴って波動が発生するといわれている。このような波動の振幅は、アコースティックエミッション(略してAE)と総称されている。AEを材料試験とも相関検査などに利用する方法はAE法と呼ばれる。AEの特徴は、個別の材料を対象として構造物に対するものとあってくるので、AE法を十分に活用するためには、それらに関する豊富な基礎データが必要である。現在では、AE測定システムの開発はもちろんのこと、二つの方面の研究も活発に行なわれている。

本報告は、二つうちの研究の一環として、岩質材料を対象として、AEによる破壊源探査を試みたものであり、その装置、方法、精度などを検討し、最後に割裂試験、圧縮および曲げ試験中の微小破壊波の追跡に適用した結果を述べたものである。

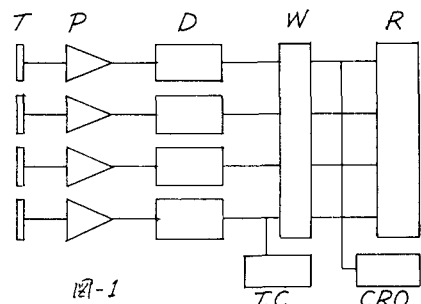
2. 破壊源探査法

1)方法: AEでは、破壊に伴う弾性波、するわち、継波、横波および表面波が検出される。物体内で同一原因によるAE波の検出を行なえば、検出束へ到達時間差から、破壊源を計算により確定することができる。圧力容器など比較的高く、かつ広がりのある構造物内の破壊源探査には、表面波が主に用いられていて、一方、一般の3次元物体では、物体の境界での反射により複雑な波が発生するので、検出束に最も早く到達した継波だけに注目する方法が精度が良いと考えられる。以下では、継波を主として利用する測定システムを検討する。

使用したAE測定装置のブロックダイヤグラムを図-1に示す。
 装置は4(または5)チャンネルで構成し、検出器としてはPZT-5($\phi 8mm \times 2mm$, 共振周波数 900KHz)を用いた。検出したAE信号は、前置増幅器で20dB増幅し、さらに波高分離器で10KHz～300KHz, もう1度40dB増幅して、1μsecのサンプリング間隔でウェーブメモリで読み取り数値化して記憶した。波動は、同時にオシロスコープでモニタし、AE信号であることを確認し上、時間スケールを拡大してベニレコーダーに記録した。(図-6参照)。

二つうちの測定システムにより、継波の検出器への到達時間差は容易に読み取ることで、破壊源を推定することができる。

2)精度検査: 圧縮試験($\phi 15cm \times 15cm$)の表面上の教具(駆動具)から50KHzの発射矩形波信号を入力し、図-2に示す4(または5)点で検出器記録して、計算により信号源を求めて、発射点と比較した。結果の一例を表-1に示す。本在、 P_1, P_2 点から入力した場合の検出波形を図-3に示す。初期位相に注意されたい。(b)図のD点での初期の波動は、他のものと位相が異なり継波ではなく、横波(SV波)と判断される。



T: 検出器(PZT-5), P: 前置増幅器
 D: 波高分離器, W: ウェーブメモリ
 R: レコーダー, T.C: カウンタ, CRO: オシロスコープ

A(-2, 0, -5)

B(4, 0, -5)

C(-2, 0, 4)

D(-2, 15, -5)

E(5.3, 9, 5.3)

A'(-12, 0, -3.8)

B'(2.5, 0, -4.5)

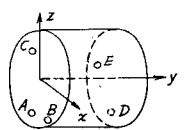


図-2

なお、横波および表面波の検出の様子は図-4を参照されたい。A点入力からC点の検出波形から式S, Rに対応して波速約2700m/sec, 2200m/secが求められる。これら2値は、維波速度4300m/sec(実測値)、ボアソン比 $\nu=0.2$ (実測値)より求まる値、約2600m/sec, 2400m/secとほぼ一致する。

表中の計算値は、 P_5, P_6 に関しては横波速度を用いて算出したものである。全体的に見て、信号の検出精度は約10mm以内といふことができる。

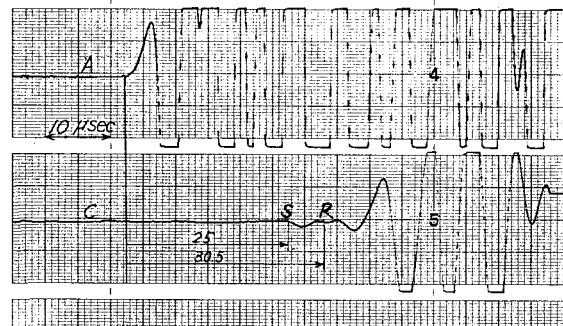
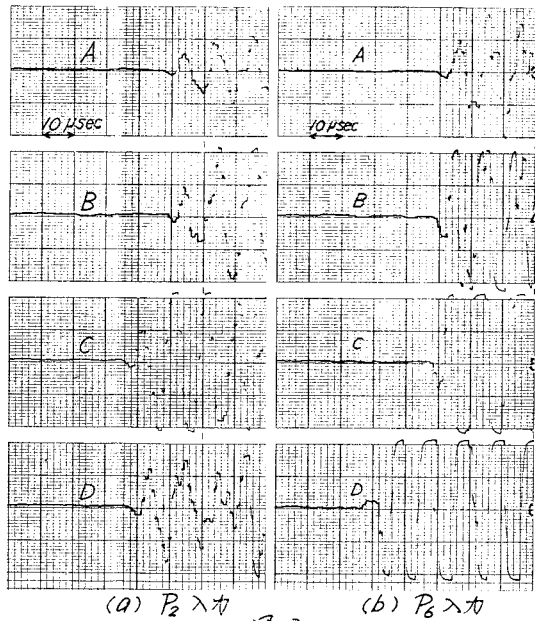
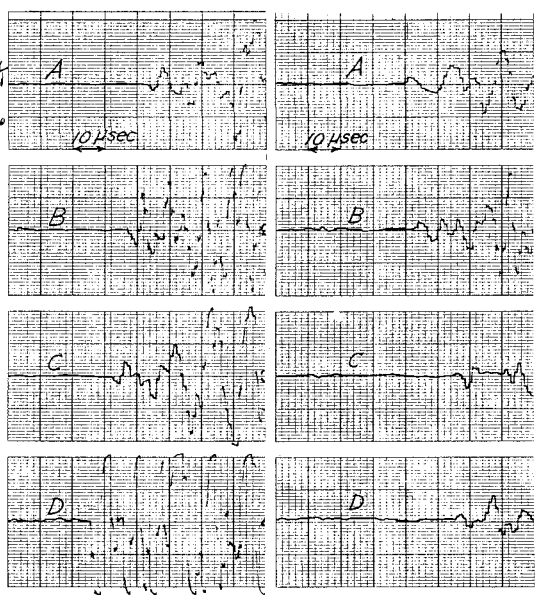


図-4 (A点入力)

点	信号源	計算値	誤差
P_1	(-7.5, 6.0, 0.0)	(-6.1, 6.0, 0.5)	15mm
P_2	(-3.8, 11.0, 6.5)	(-2.2, 10.9, 6.9)	17
P_3	(7.5, 10, 0.0)	(7.8, 7.0, -0.3)	11
P_4	(0.0, 7.5, -7.5)	(-0.3, 6.9, -8.1)	9
P_5	(0.0, 0.0, 0.0)	(1.0, -0.1, -0.6)	12
P_6	(0.0, 15.0, 0.0)	(-0.2, 15.0, -0.3)	4



(a) P_2 入力 (b) P_6 入力 図-3



(a) (b) 図-6

3. 適用例

モルタルの剥離試験時における破壊探査の一例を図-5, 6に示す。検出波形の位相図図-6(a)および(b)はZ型に分かれることに注意されたい。これよりZ型AE発生機構が考えられる。供試体中で剥離破壊に伴うAEと、供試体初期部間の微小圧縮、微小粒子の充入に伴うAEとであろう。図-5より、剥離時の微小破壊は、最終的破裂面(破線で示した)上にだけ生じるものではないことも分る。

なお、圧縮試験、曲げ試験などへの適用例は、別表時に詳説する。

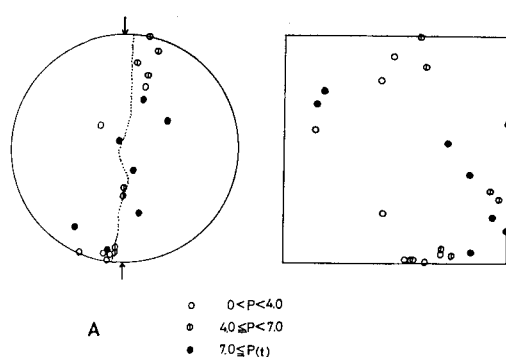


図-5